

ارزیابی احتمالاتی شکنندگی سازه‌های شبکه قطری با و بدون قاب خمشی داخلی و الگوی هندسی پیرامونی مختلف

مهیار روشنی^۱، افشین مشکوه الدینی^{۲*}، علی معصومی^۳

۱- دانش آموخته کارشناسی ارشد مهندسی زلزله، دانشگاه خوارزمی، تهران

۲- استادیار، دانشکده فنی و مهندسی، دانشگاه خوارزمی، تهران

۳- استاد، دانشکده فنی و مهندسی، دانشگاه خوارزمی، تهران

meshkat@knu.ac.ir*

تاریخ پذیرش: [۱۴۰۱/۰۹/۲۳]

تاریخ دریافت: [۱۴۰۱/۰۵/۲۳]

چکیده

مفهوم سازی و پیاده سازی تحلیل شکنندگی، یک رویکرد مناسب به منظور کنترل احتمالاتی رخداد سطوح عملکرد مختلف در اسکلت‌های مقاوم سازه‌ای است. هدف از این مقاله، ارزیابی تاثیر چیدمان قاب خمشی داخلی پلان بر عملکرد لرزه‌ای سازه‌های شبکه قطری با زوایای پیکربندی محیطی مختلف، بر پایه روابط شکنندگی است. بدین ترتیب، سه سازه ۲۴ طبقه شبکه قطری با زوایای المان مورب پیرامونی ۶۷، ۴۹ و ۷۴ درجه به دو صورت دارا و بدون قاب خمشی داخلی پلان، طراحی شد. با انجام تحلیل‌های تاریخچه زمانی غیرخطی و دینامیکی فراینده (IDA)، شکل‌پذیری و ظرفیت مقاومت سازه‌های مطالعاتی تحت رکوردهای حوزه نزدیک حاوی موجک‌های پرانرژی، مورد بررسی قرار گرفت. سپس، نمودارهای شکنندگی سازه‌های شبکه قطری، بر اساس توزیع آماری لوگ-نرمال برای چهار وضعیت عملکرد لرزه‌ای، محاسبه شد. مطابق با نتایج به دست آمده، پیکربندی هندسی محیطی با زوایای ۴۹ درجه، بیشترین سطح اطمینان را در برابر رخداد سطوح عملکرد لرزه‌ای برای سازه‌های شبکه قطری ایجاد می‌کند. نمودارهای شکنندگی نشان دادند که روند خرابی کلی در سازه‌های شبکه قطری بدون قاب خمشی داخلی با آهنگ سریع تری نسبت به سازه‌های همپایه دارای قاب خمشی پدیدار می‌شود. بر پایه ارزیابی آسیب‌پذیری سازه‌های مطالعاتی، اندازه و دامنه تاثیرگذاری چیدمان قاب‌های خمشی داخلی پلان بر بهبود و کاهش نسبی دامنه رفتار غیرخطی سازه‌های شبکه قطری، وابسته به زوایای المان مورب الگوی مثاثی پیرامونی است. در این‌باره نیز تعییه زوایای بزرگ پیکربندی محیطی، میزان اثر بخشی چیدمان قاب خمشی داخلی بر جلوگیری از وقوع ناپایداری کلی دینامیکی در سازه‌های شبکه قطری را افزایش می‌دهد. جایگزینی و چیدمان قاب‌های خمشی در بخش میانی پلان سازه سبب افزایش کارآمدی سازوکار استهلاک انرژی زلزله در ساختارهای شبکه قطری می‌شود.

واژه‌های کلیدی: سازه شبکه قطری، منحنی شکنندگی، تحلیل دینامیکی فراینده (IDA)، فروریزش، عملکرد لرزه‌ای.

۱- مقدمه

ارتباط با رفتار کلی سازه شبکه قطری، نتایج قابل اعتمادی را نشان می دهد [8]. نسبت ارتفاع به عرض سازه و زاویه المان های مورب، دو فاکتور تاثیرگذار بر عملکرد لرزه ای سازه های شبکه قطری می باشند. دراین باره، در سال ۲۰۲۰، رفوئی و سید کاظمی با انجام تحلیل های دینامیکی فراینده، تاثیر تغییر طول دهانه سازه و زوایای شبکه قطری محیطی را بر رفتار و مشخصات شکنندگی سازه های الگوی هندسی محيطی را بر رفتار و مشخصات شکنندگی سازه های شبکه قطری بررسی کردند. در آن مطالعه با افزایش تعداد طبقات سازه، مقادیر کمتری برای ضرایب رفتار (R) و مقاومت افزون (Ω) در اسکلت های شبکه قطری محاسبه شد [9]. همچنین، محسنیان و همکاران (۲۰۲۰) بی بردند که ضریب رفتار برابر با ۴ برای سازه های شبکه قطری، حاشیه اطمینان مناسبی را در برابر رخداد سطوح عملکرد بالاتر از یمنی جانی برای ساختارهای شبکه قطری ایجاد می کند [10]. در سال ۲۰۲۰ دباغچیان و همکاران، طرح ایجاد خروج از مرکزیت در الگوهای مثلثی را برای سازه های شبکه قطری ارائه نمودند. ارزیابی نتایج مرتبط با نمودارهای شکنندگی نشان داد که تعریف خروج از محوریت در پیکربندی الگوهای مثلثی پیرامونی شبکه های قطری، سبب افزایش قابلیت پایداری و ثبات رفتار الاستیک و افزایش نسبی مشخصات مقاومتی این سازه ها می شود [11]. Gilmore و همکاران (۲۰۲۱) نیز یک رویکرد تحلیلی بر پایه جابه جایی، به منظور تفہیم و گسترش روش طراحی بر اساس عملکرد برای سازه های شبکه قطری را مطرح کردند. با استفاده از این روش، بهینه سازی طراحی و قابلیت ارزیابی پاسخ جانی در سازه های شبکه قطری ایجاد می شود [12]. Song و همکاران در سال ۲۰۲۰، تاثیر زوایای المان مورب پیرامونی را بر سختی جانی سازه های شبکه قطری دارای پیچ خوردگی در ارتفاع بررسی کردند. آنان بر پایه تغییر شکل حاکم خمی، برای سازه ۶۰ طبقه شبکه قطری با نرخ پیچ خوردگی در ارتفاع برابر با یک درجه، زوایای بهینه برای الگوهای مثلثی پیرامونی را در حدود ۵۵ الی ۷۱ درجه بدست آوردند [13]. Cascone و همکاران (۲۰۲۱) نیز یک روش طراحی را با لحاظ معیارهای مقاومت و سختی، با هدف ایجاد

آسیب پذیری اسکلت های مقاوم لرزه ای در برابر تحریکات زمین، بر پایه تحلیل شکنندگی ارزیابی می شود و می توان با استفاده از تعریف تابع شکست، احتمال تجاوز عملکرد سازه از سطوح خسارت در محدوده گسترده ای از شدت زلزله را محاسبه نمود. همچنین، امکان پرداختن به موضوعات مدیریت ریسک و تخمين ظرفیت فروریزش در ساختارهای مقاوم جانبی نیز بر پایه ارزیابی نمودارهای شکنندگی در وجود دارد [1]. دراین باره، تاثیر اندرکش خاک و سازه بر روند شکست سیستم های مقاوم لرزه ای، از اهمیت ویژه ای برخوردار است [2]. مشهدی علی و خیر الدین، با پیاده سازی روابط شکنندگی، پارامترهای رفتار غیر خطی سازه های هگزاگرید^۱ را بررسی نمودند. آنان دریافتند که زوایای ۳۰ الی ۴۰ درجه برای المان های قطری سبب ایجاد عملکرد مطلوب لرزه ای، در سازه های هگزاگرید می شود [3,4]. همچنین Wang و همکاران در سال ۲۰۲۰ تاثیر هم زمان زلزله اصلی و پس لرزه را بر عملکرد دینامیکی سازه ترکیبی بتن آرم، از دیدگاه احتمالاتی حالات حدی کترل نمودند. آنان مشاهده کردند که پس از تحریکات زمین، باعث افزایش احتمال فراغذشت از سطوح عملکرد لرزه ای می شود [5]. Hu و همکاران (۲۰۲۱) نیز با بررسی نتایج تحلیل شکنندگی برای سطوح مختلف خطر لرزه ای دریافتند که سازه دارای هسته دو گانه جذب کننده انرژی زلزله، دارای بیشترین ظرفیت مقاومت برای مقابله با وقوع وضعیت فروریزش، نسبت به سایر سازه های هم پایه آن مطالعه است [6].

شایان ذکر است که مشخصات تحلیلی تغییر شکل ها و مولفه تنش محوری اعضای مورب در الگوهای مثلثی پیرامونی ساختارهای شبکه قطری، توصیف کننده و تاثیرگذار بر رفتار غیر خطی سازه تحت رکوردهای زلزله است [7]. در رابطه با ارزیابی وقوع شکست برای سازه های شبکه قطری، مرادی و همکاران (۲۰۲۰) پارامتر انرژی کرنشی را برای تعیین میزان خسارت بر اسکلت مقاوم، در حالات حدی مختلف پیشنهاد دادند. ملاحظه شد که پارامتر انرژی به دلیل

1. Hexagrid structure
2. Diagrid structure
3. Incremental dynamic analysis (IDA)

شده‌اند [۲۰, ۱۹, ۲۰]. با توجه به معیار هم‌ارزی سختی، سازه‌های ۲۴ طبقه شبکه قطری به دو صورت دارای قاب خمشی میانی با نام Hybrid-Diagrid و بدون قاب خمشی میانی با نام Diagrid مدل‌سازی شدند.

مطابق با جدول (۱)، معیار رفتار پیچشی سخت در تحلیل مودال سازه‌های مطالعاتی در نظر گرفته شده است. المان‌های سازه‌ای از فولاد ST37 با تنش تسلیم $F_y = 2400 \text{ kg/cm}^2$ و $F_u = 3700 \text{ kg/cm}^2$ ساخته شده‌اند. برایه معیار تنش نهایی $F_u = 3700 \text{ kg/cm}^2$ ساخته شده‌اند. برایه معیار ستون قوی‌تیر ضعیف و کنترل نسبت‌های مقاومتی، مقاطع المان‌ها در هر شش ساختار شبکه قطری به صورت جدول‌های (۲) و (۳) لحاظ شد. کاربرد مقاطع باکس (Box) برای اعضای باربر جانبی سبب ایجاد توزیع هر چه یکنواخت‌تر جریان برش در پیکره پیوسته نیم‌رخ المان خواهد شد.

وزن اسکلت کمتر در سازه‌های شبکه قطری، بر اساس بهینه‌یابی زوایای الگوی هندسی محیطی بیان کردند [۱۴].

هدف از این مقاله، ارزیابی تاثیر وجود قاب خمشی میانی بر مشخصات شکنندگی سازه‌های شبکه قطری با زوایای پیکربندی پیرامونی مختلف می‌باشد. انعطاف پذیری بالای ساختارهای خمشی، نشان‌دهنده ظرفیت بزرگ تغییرشکل غیرالاستیک پایدار در این سیستم‌های باربر جانبی است. سازوکار تسلیم المان‌های تیر-ستون در این سازه‌ها، در حالت حاکمیت رفتار خمشی و نیز برای چشممه‌های اتصال^۱ به صورت برشی در نظر گرفته می‌شود [۱۵]. در این‌باره اهل حق و میرقادری (۲۰۲۰) با به کارگیری تیرهای متصل‌کننده طبقات در قاب‌های خمشی، افزایش قابلیت جذب انرژی زلزله در اسکلت‌های مقاوم را نتیجه‌گیری نمودند [۱۶]. همچنین، وحدانی و همکاران (۲۰۱۷) با کنترل روند شکست لرزه‌ای در سازه‌های قاب خمشی، پی‌بردن که بیشینه شتاب متناظر با رخداد وضعیت فروریزش تحت رکوردهای حوزه نزدیک، کمتر از رکوردهای حوزه دور است [۱۷]. بدین ترتیب در مطالعه حاضر، ساختار رفتاری و مشخصات شکنندگی سه سازه مطالعاتی ۲۴ طبقه شبکه قطری با الگوهای هندسی پیرامونی مختلف، در دو حالت دارای قاب خمشی میانی شکل (۱-الف) و بدون قاب خمشی شکل (۱-ب) بر پایه انجام تحلیل‌های غیرخطی تاریخچه زمانی^۲ و دینامیکی فراینده (IDA) ارزیابی شده است. چیدمان قاب‌های خمشی با خطوط تیره پر رنگ و قاب‌های ساده مفصلی به صورت خطوط تیره نازک در پلان سازه‌ها مطابق شکل (۱) مشخص است.

۲- مشخصات سازه‌های مطالعاتی

در این مقاله، سه سازه شبکه قطری با زوایای پیکربندی ۴۹، ۶۷ و ۷۴ درجه شکل (۲) بر اساس مبحث دهم مقررات ملی ساختمان (ویرایش ۱۳۹۸) و ضوابط لرزه‌ای موجود در ویرایش چهارم استاندارد ۲۸۰۰ و کاربرد نرم افزار SAP2000 طراحی

1. Panel zone (PZ)
2. Nonlinear time history analysis (NTHA)

پلان سازه‌های مطالعاتی شکل (۱) به صورت 36×36 متر و فاصله اعضای قطربندی از یکدیگر ۶ متر است. بارگذاری نقلی بر اساس مبحث ششم مقررات ملی ساختمان (ویرایش ۱۳۹۸)، به صورت بار مرده برابر با 500 کیلوگرم بر مترمربع در همه طبقات و بار زنده در تراز $Z=H$ و نیز سایر طبقات به ترتیب برابر با 150 و 200 کیلوگرم بر مترمربع لحاظ شده است [۲۱]. ارتفاع طبقات به صورت یکسان برابر با 3.5 متر همراه با تغییرات زوایای المان‌های مورب پیرامونی در نظر گرفته شد.

شکل ۲. نمای سازه‌های مطالعاتی ۲۴ طبقه شبکه قطربندی با الگوی هندسی مختلف؛ (الف) 49° درجه، (ب) 67° درجه، (پ) 74° درجه.

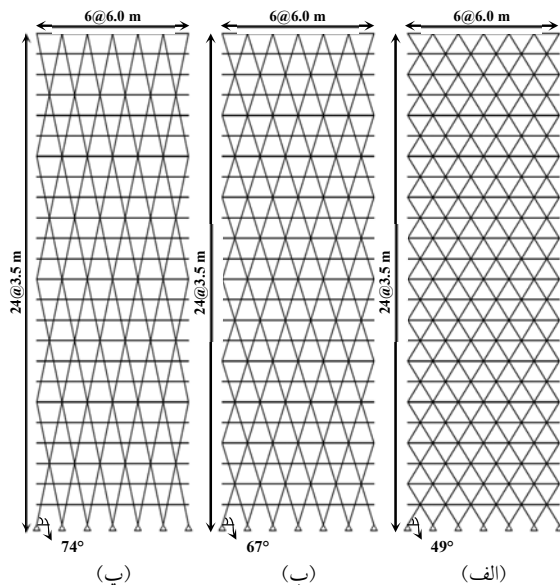


Fig. 2. Elevation view of the studied 24-story models with various perimeter geometric configurations.

ساختمان‌ها نیز از خاک نوع II و در منطقه با خطر لرزه‌خیزی نسبی بالا می‌باشد. ساختارهای شبکه قطربندی به عنوان سیستم مقاوم بارجنبی در آئین نامه‌های ساختمان شناخته نشده‌اند. بدین ترتیب، ضریب رفتار (R) برابر با ۵، برای این سازه‌ها مطابق پیشنهادهای مطالعات گذشته فرض شد [۲۲, ۲۳]. اتصالات المان‌های قطربندی در الگوی هندسی پیرامونی سازه‌ها، به صورت مفصل مدل شده است. مطابق با ضوابط

شکل ۱. پلان سازه‌های مطالعاتی؛ (الف) سازه‌های شبکه قطربندی دارای چیدمان قاب خمشی میانی (Hybrid-Diagrid)، (ب) سازه‌های شبکه قطربندی بدون قاب خمشی میانی (Diagrid)، C_S و C_M به ترتیب مراکز جرم و برش طبقه هستند.

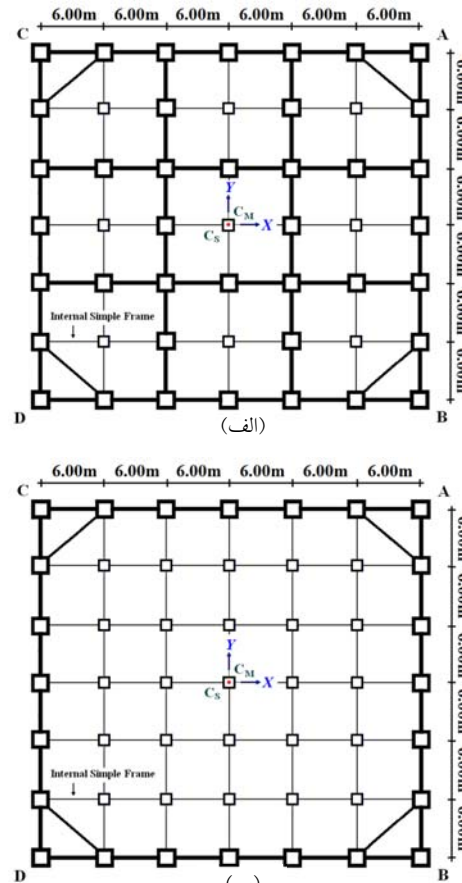


Fig. 1. Plan of the studied diagrid structures with and without internal moment frames.

جدول ۱. ویژگی‌های مودال سازه‌های مطالعاتی.

Structure	Transitional Modes		Torsional Mode
	T_{1x} (sec)	T_{1y} (sec)	T_{1z} (sec)
Diagrid (49°)	1.225	1.225	0.426
Hybrid-Diagrid (49°)	1.223	1.223	0.430
Diagrid (67°)	1.284	1.284	0.631
Hybrid-Diagrid (67°)	1.281	1.281	0.635
Diagrid (74°)	1.647	1.647	0.906
Hybrid-Diagrid (74°)	1.622	1.622	0.910

Table 1. Modal characteristics of the studied structures.

$$\Delta_T = \frac{T_{CE} L}{EA} \quad (1)$$

$$\Delta_C = \frac{P_{CL} L}{EA} \quad (2)$$

مطابق موارد ذکر شده، مشخصات مفاصل پلاستیک برای المان‌های اصلی سازه‌های شبکه قطعی اختصاص یافت. شکل (۳) ویژگی‌های رفتار غیرخطی اعضای باربر جانسی در قاب‌های داخلی و خارجی سازه‌ها را نشان می‌دهد.

FEMA P-695 و توصیه‌های ASCE/SEI 41-17 غیرخطی برای اعضای قطری بر اساس نسبت برآیند نیروی دینامیکی به بیشینه نیروی قابل تحمل المان در حالت الاستیک، به صورت جابه‌جایی کششی و فشاری مشخص می‌شود [۲۴,۲۵]. با توجه به مساحت مقطع A و طول L المان، مدول الاستیک E و همچنین مقاومت کششی T_{CE} و فشاری P_{CL} مورد انتظار عضو، تغییر شکل‌های کششی Δ_T و فشاری Δ_C المان‌های قطری، به صورت زیر محاسبه می‌شوند:

شکل ۳. تعریف مشخصات غیرخطی اعضای سازه‌های مطالعاتی؛ (الف) مدل رفتار غیرخطی المان قطری، (ب) مدل رفتار غیرخطی المان ستون قاب ساده مفصلی [۲۴,۲۵].

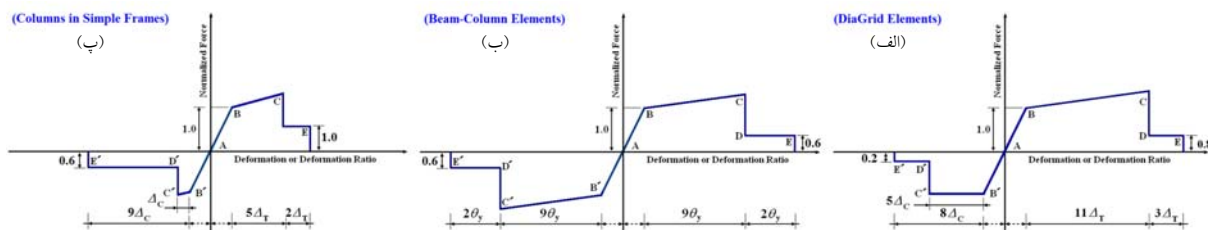


Fig. 3. The proposed nonlinear behavioral models for the diagrid elements and the beam-columns [24,25].

جدول ۲. مشخصات مقاطع المان‌های قاب‌های خمی و بیکربندی قطری سازه‌های مطالعاتی (ابعاد به mm).

	Story	1-6	7-12	13-18	19-24
Moment Frame	Column	BOX 600×30	BOX 550×25	BOX 500×20	BOX 450×15
	Bream	PL 500×15+350×25	PL 450×15+350×25	PL 450×10+350×25	PL 400×10+300×20
	Diagonal Element - 49°	BOX 550×25	BOX 500×22	BOX 450×18	BOX 400×14
Diagrid Frame	Diagonal Element - 67°	BOX 500×28	BOX 450×25	BOX 400×22	BOX 350×18
	Diagonal Element - 74°	BOX 500×26	BOX 450×24	BOX 400×20	BOX 350×16
	Beam	PL 500×15+350×25	PL 450×15+350×25	PL 450×10+350×25	PL 400×10+300×20

Table 2. Section sizes assigned to the beam-columns and the diagrid elements of the studied structures.

جدول ۳. مشخصات مقاطع المان‌های قاب‌های با اتصالات مفصلی در سازه‌های شبکه قطری (ابعاد به mm).

	Story	1-5	6-10	11-15	16-20	21-24
Simple Frame	Column	BOX 500×25	BOX 450×20	BOX 400×15	BOX 350×15	BOX 300×10
	Beam		PL 350×10+150×20			

Table 3. Section sizes assigned to the simple frame elements of the studied diagrid structures.

از زلزله‌های نورث‌ریج ۱۹۹۴، امپریال ۱۹۷۹، لوماپریتا ۱۹۸۹، بم ۲۰۰۳ و طبس ۱۹۷۸ مطابق با جدول (۴) در نظر گرفته شده

۳- ویژگی‌های طیفی رکوردهای حوزه نزدیک زلزله

به منظور ارزیابی عملکرد لزهای سازه‌های مطالعاتی، با استفاده از داده‌های سایت PEER، ۱۰ رکورد سه مولفه‌ای حوزه نزدیک

در شکل (۴)، طیف شتاب (S_a) همراه با میانگین محاسباتی مربوط به رکوردهای زلزله در دو راستای مولفه LN (موازی با صفحه شکست گسل) و مولفه TR (عمود بر صفحه شکست گسل) نشان داده شده است. دانسته شده که اعمال رکوردهای حوزه نزدیک با انواع آثار جهت‌داری، سبب احتمال رخداد فروریزش در سازه‌ها با دامنه بیشتر نسبت به رکوردهای حوزه دور می‌شوند [28]. بنابراین، ارزیابی رفتار شکنندگی سازه‌ها

است [26]. رکوردهای حاوی پالس سرعت^۱ می‌توانند دارای مقادیر طیفی بزرگ در بازه بسامدی نزدیک به زمان تناوب^۲ پالس باشند. همچنین، ارزیابی ساختار طیف‌های پاسخ و نیز نسبت زمان تناوب پالس سرعت رکورد به زمان تناوب مود اول سازه (T_p/T_1) به عنوان دو فاکتور موثر در شناسایی تاثیر جنبش‌های نیرومند زمین بر عملکرد لرزه‌ای سازه‌ها در نظر گرفته می‌شوند [27].

شکل ۴. طیف پاسخ شتاب رکوردهای زلزله انتخابی؛ (الف) مولفه LN (منطبق با راستای X پلان سازه‌های مطالعاتی)، (ب) مولفه TR (منطبق با راستای Y پلان سازه‌های مطالعاتی).

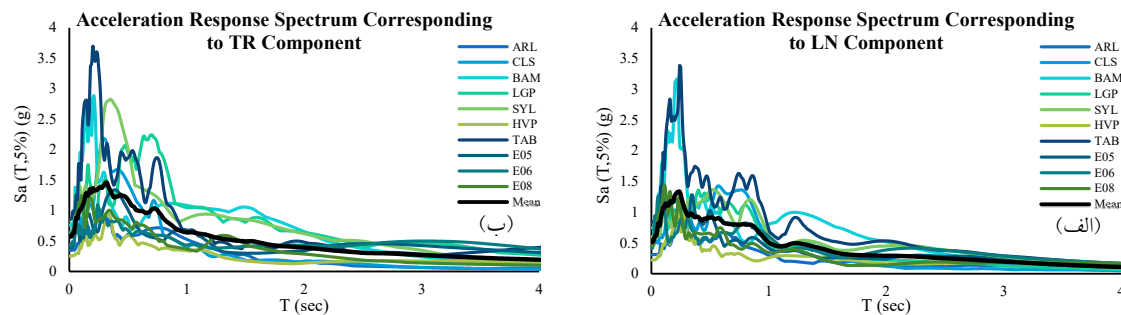


Fig. 4. The 5% damped acceleration response spectra of the selected earthquake records.

جدول ۴. مشخصات فیزیکی رکوردهای حوزه نزدیک انتخابی.

No.	Earthquake	Year	Station	Magnitude (M_w)	Distance (km)	T_{Pulse} (sec)	$PGA_{(TR)}$ (g)	$PGV_{(TR)}$ (cm/s)	$PGD_{(TR)}$ (cm)	Directivity
1	Bam	2003	BAM	6.6	1.0	3.65	0.793	123.70	35.14	Forward
2	Imperial Valley	1979	El Centro Array 5 (E05)	6.5	4.0	5.35	0.379	90.52	62.19	Forward
3	Imperial Valley	1979	El Centro Array 6 (E06)	6.5	1.0	4.65	0.439	110.14	69.31	Forward
4	Imperial Valley	1979	El Centro Array 8 (E08)	6.5	3.8	-	0.602	54.13	31.24	Forward
5	Imperial Valley	1979	Holtville Post Office (HVP)	6.5	7.5	-	0.253	50.03	32.05	Neutral
6	Loma Prieta	1989	Los Gatos (LGP)	6.9	6.1	7.30	0.563	96.23	37.12	Forward
7	Loma Prieta	1989	Corralitos (CLS)	6.9	5.1	-	0.644	55.48	10.46	Backward
8	Northridge	1994	Arleta (ARL)	6.7	12.9	-	0.345	42.04	10.09	Neutral
9	Northridge	1994	Sylmar Olive View (SYL)	6.7	6.4	2.60	0.843	129.61	32.93	Forward
10	Tabas	1978	TAB	7.4	3.0	7.95	0.852	122.66	101.73	Forward

Table 4. The physical specifications of the selected near-field earthquake records.

1. Velocity pulse
2. Period

سرعت، نیاز لرزه ای بالایی را در ساختارهای مقاوم جانبی ایجاد می کنند.

۴- ارزیابی عملکرد لوزه ای سازه های شبکه قطری

۴-۱- نتایج تحلیل های تاریخچه زمانی غیرخطی

ارزیابی طرح لرزه ای و تحلیل سازه های مطالعاتی شبکه قطری دارا و بدون قاب خمسی میانی شکل (۱) در نرم افزارهای (۱) Perform3D و SAP2000 انجام شده است [۳۰,20]. بررسی هماهنگی و پردازش مشخصات تحلیلی مودال، پارامترهای سختی و مقاومت سازه های مطالعاتی در محیط هر دو نرم افزار Perform3D و SAP2000 صورت گرفت. در مطالعه حاضر، رفتار غیرخطی سازه های مطالعاتی به وسیله تحلیل های دینامیکی تاریخچه زمانی تحت رکوردهای حوزه نزدیک به صورت میدان آزاد مورد بررسی قرار گرفته است. استفاده از رکوردهای میدان آزاد زلزله، دربرگیرنده نمود واقعی از بارگذاری جانبی در کنترل طراحی سازه ها می باشد. بدین ترتیب، تاثیر قاب خمسی میانی بر شکل پذیری سازه های شبکه قطری، با ارزیابی پارامترهای بیشینه جابه جایی نسبی^۲ و تغییر مکان جانبی^۳ برای دو گروه سازه های مطالعاتی انجام شد.

در شکل های (۶ و ۷)، پوش بیشینه جابه جایی نسبی و تغییر مکان طبقات سازه های شبکه قطری دارا و بدون قاب خمسی داخلی ارائه شده است. در این شکل ها، میانگین نمودارها به صورت خط چین پررنگ نشان داده شده است. بر طبق این نتایج، سازه های شبکه قطری تحت رکوردهای انتخابی در حوزه الاستیک و خطی رفتار می کنند. جنبش های نیرومند زمین متاثر از آثار جهت داری پیشرونده، تغییر شکل های بزرگی را نسبت به رکوردهای دارای فقط جهش های پرانژی و با گام زمانی کوچک، در سازه های مطالعاتی ایجاد کرده اند. با مشاهده

شکل ۵. نمودار تجمعی آزاد شدن انرژی جنبشی مربوط به سه رکورد حوزه نزدیک HVP ، LGP و BAM متناظر با مولفه TR.

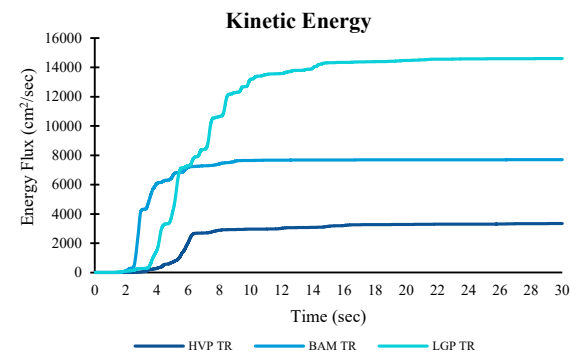


Fig. 5. Time histories of the cumulative approach related to the kinetic energy release of the HVP, LGP and BAM records.

تحت رکوردهای حوزه نزدیک به ویژه با اثر جهت داری پیشرونده^۱ از اهمیت ویژه ای برخوردار است. در این باره، عزالدین و همکاران (۲۰۲۱) به منظور شبیه سازی رکوردهای حوزه نزدیک، رویکرد جدیدی را در برآذش موجک پیوسته سرعت، بر اساس دو پارامتر دامنه و زمان تناوب پالس ارائه نمودند. در آن مطالعه، با ترکیب روش تخمین موجک شتاب و فرمولاسیون پیشنهادی برآذش تک پالس سرعت، کمینه سازی خطای برآورد بر پایه طیف های الاستیک پاسخ لرزه ای و شدت آریاس انجام شد [29].

جنبشهای نیرومند زمین حاوی پالس در تاریخچه زمانی سرعت، انرژی زیادی را به اسکلت های مقاوم وارد می کنند. شکل (۵)، روند تجمعی آزاد شدن انرژی جنبشی سه رکورد LGP و HVP BAM متناظر با مولفه TR، هم راستا با محور Y پلان سازه های مطالعاتی را نشان می دهد. با توجه به این نمودار ملاحظه می شود که رکورد LGP به سبب حضور پالس سرعت بلند مدت و رکورد BAM با توجه به پالس با دامنه بالا، مقادیر انرژی بیشتری را نسبت به رکورد HVP تنها حاوی جهش های^۴ پرانژی، دارد. پس می توان انگاشت که رکوردهای دارای پالس

1. Forward directivity effect

2. Spike

3. Drift

4. Displacement

نمودارهای پوش جابه‌جایی نسبی ملاحظه می‌شود برای سازه شبکه قطري با الگوی هندسي محطي ۴۹ درجه، يك توزيع

شکل ۶. پوش بيشينه تغيير مکان و جابه‌جایي نسبی در جهت X پلان سازه‌های شبکه قطري دارا و بدون قاب خمسی داخلی.

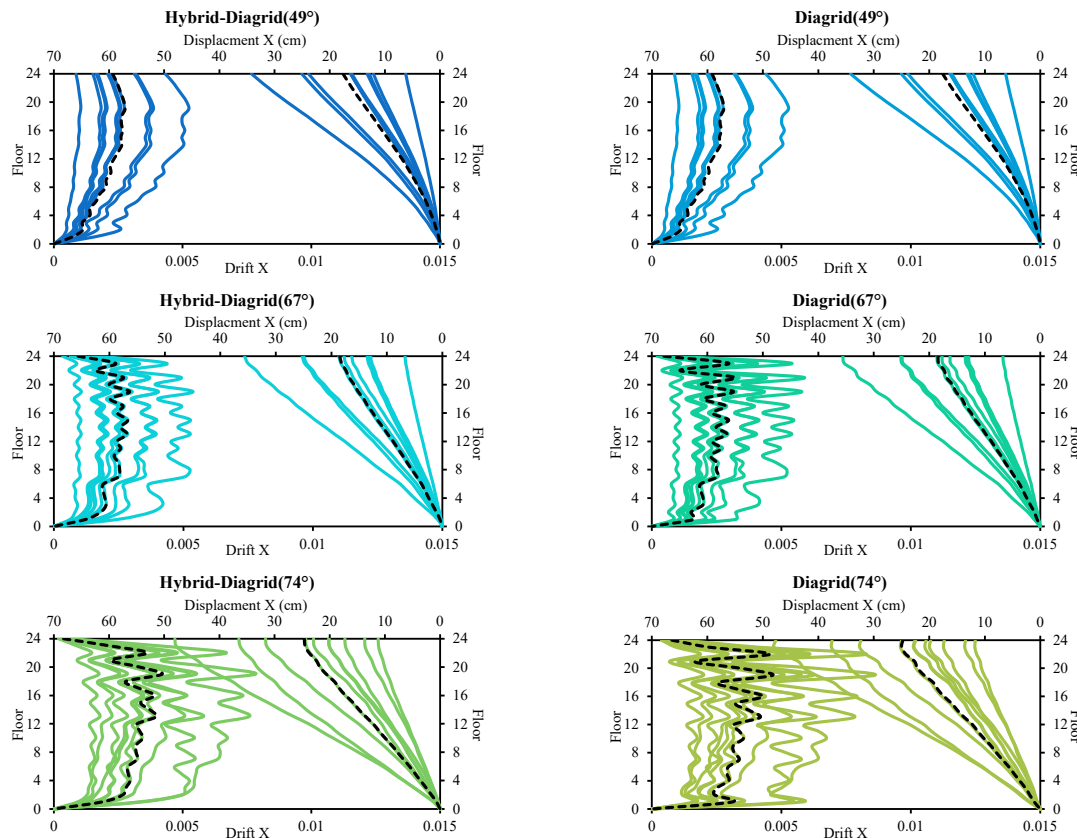


Fig. 6. The envelop of the maximum story drift and displacement responses in the X direction of plan.

شکل ۷. پوش بیشینه تغییرمکان و جابه‌جایی نسبی در جهت Y پلان سازه‌های شبکه قطربی دارا و بدون قاب خمشی داخلی.

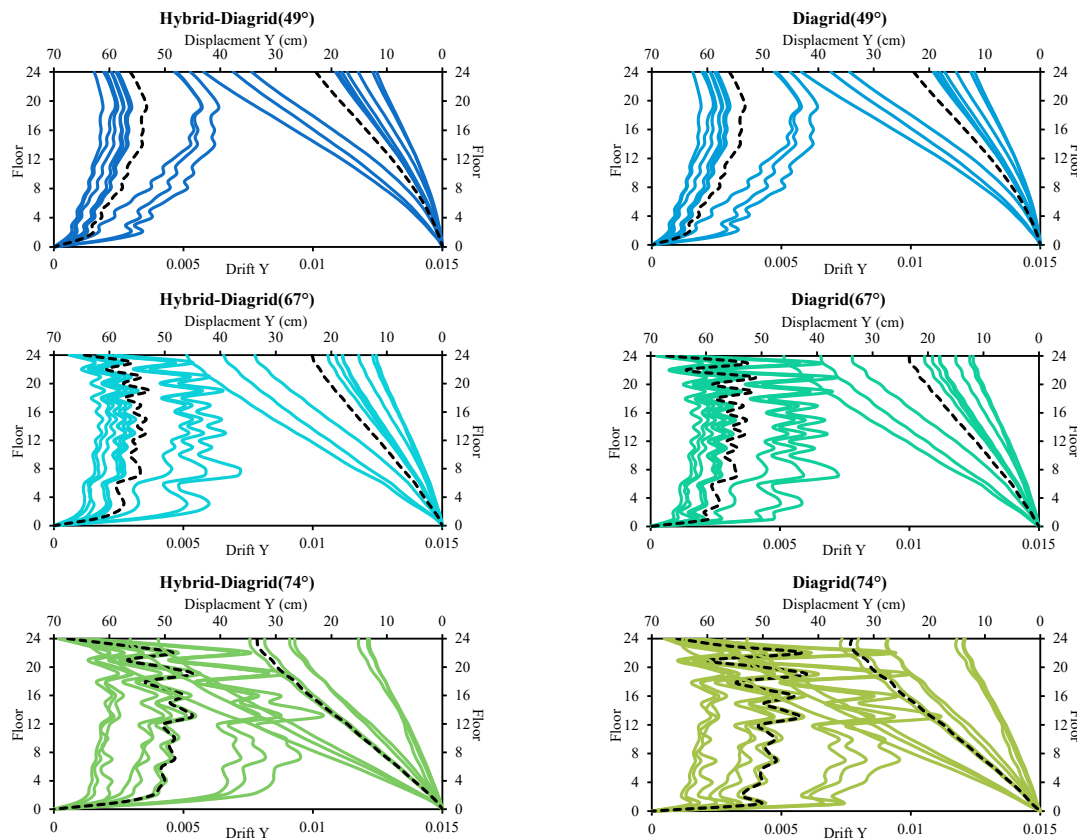


Fig. 7. The envelop of the maximum story drift and displacement responses in the Y direction of plan.

خمشی بر قابلیت استهلاک انرژی زلزله در سازه‌های شبکه قطربی، بیشتر می‌شود. نمودارهای پوش بیشینه تغییرمکان جانبی سازه‌های مطالعاتی (شکل‌های ۶ و ۷) نشان می‌دهد که انتخاب زوایای مناسب برای الگوی هندسی پیرامونی، قابلیت پوشش دامنه تغییرات این نیاز لرزه‌ای در طبقات سازه‌های شبکه قطربی را در پی دارد. نمود آثار مودهای پایه رفتار خمشی و برشی در ساختار تحلیلی نمودارهای تغییرمکان جانبی حاصله فوق ملاحظه می‌شود. همچنین از این نمودارها دریافت می‌شود که چیدمان قاب‌های خمشی مشارکت ناچیزی در کاهش مقادیر بیشینه تغییرمکان جانبی طبقات سازه‌های شبکه قطربی دارد.

نسبی یکنواخت برقرار است. در این باره، با افزایش زوایای پیکربندی محیطی، مقادیر پاسخ جابه‌جایی نسبی در اسکلت‌های مقاوم بیشتر می‌شود. این مورد نشان دهنده ظرفیت مقاومتی بزرگ برای سازه‌های شبکه قطربی با زوایای کوچک‌تر المان‌های مورب پیرامونی، به ویژه تحت اثر رکوردهای حاوی پالس سرعت است. سازه‌های شبکه قطربی قاب خمشی میانی (Hybrid-Diagrid)، مقادیر پاسخ جابه‌جایی نسبی کمتری نسبت به سازه‌های همپایی بدون قاب خمشی داخلی (Diagrid) تحمل نموده‌اند. وجود پیکربندی قاب‌های خمشی میانی سبب یک کاهش نسبی و محدود نمودن تغییرشکل جانبی سازه‌های شبکه قطربی به ویژه در طبقات انتهایی می‌شود. بر همین اساس، با افزایش زوایای الگوی ملائی پیرامونی نیز میزان اثربخشی قاب

شکل ۸. نتایج تحلیل دینامیکی فراینده (IDA) برای سازه‌های شبکه قطربی دارا و بدون قاب خمشی داخلی، با زوایای پیکربندی ۴۹ درجه.

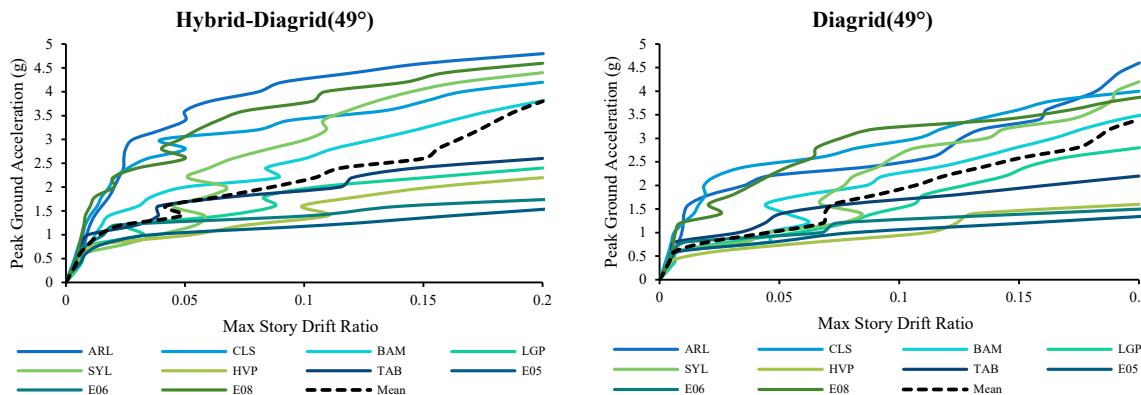


Fig. 8. The resulted IDA curves for the 24-story studied structures with skeletal configuration angle of 49°.

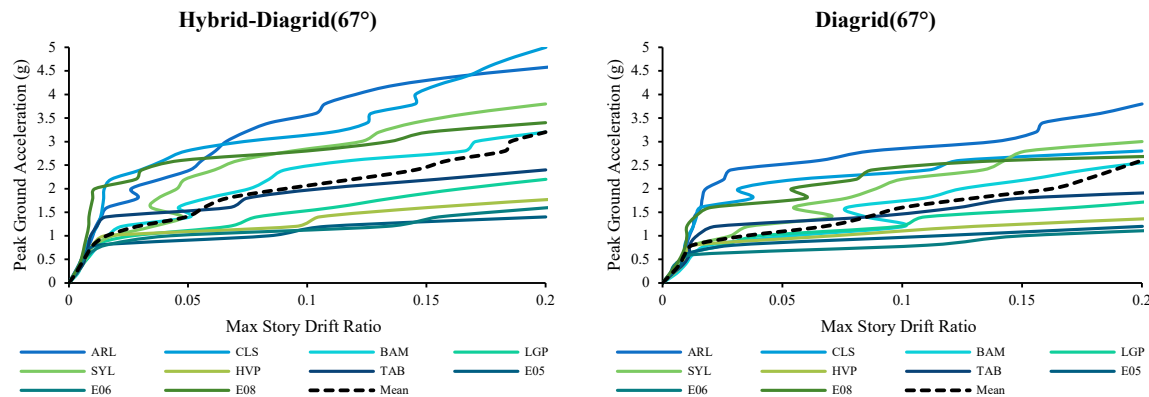
بر پایه نتایج به دست آمده، سازه شبکه قطربی با زوایای پیکربندی ۴۹ درجه دارای عملکرد مناسب در حوزه رفتار غیرخطی به لحاظ مقابله با روند تصاعدی شدت لرزه‌ای است. به عبارت بهتر، سازه‌های شبکه قطربی با زوایای کوچک الگوی مثلثی

۴-۲- تحلیل دینامیکی فراینده (IDA)

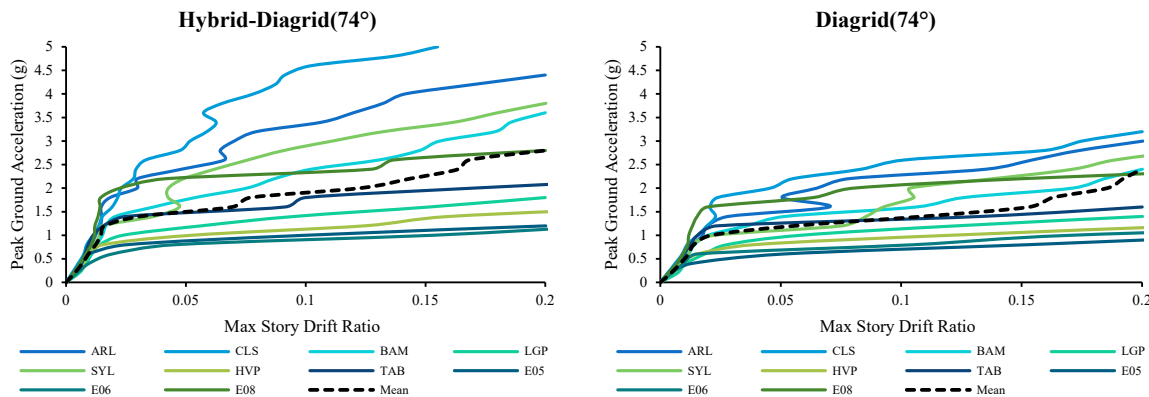
در مطالعه حاضر، ظرفیت فروبریزش سازه‌های مطالعاتی تحت رکوردهای سه مولفه‌ای حوزه نزدیک مقیاس شده بر اساس بیشینه شتاب زمین^۱ مولفه TR، با استفاده از تحلیل‌های IDA مورد ارزیابی قرار گرفت و مقادیر پارامتر پاسخ لرزه‌ای نیز در سطوح مختلف شدت حرکت زمین مشخص شد [31,32]. در این مقاله، مقادیر بیشینه جابه‌جایی نسبی طبقات^۲ سازه‌های مطالعاتی در دو راستای X و Y به عنوان فاکتور نیاز لرزه‌ای^۳ و بیشینه شتاب زمین به عنوان اندازه شدت^۴ لحاظ شده است. شکل‌های (۸ تا ۱۰) نتایج تحلیل‌های دینامیکی فراینده (IDA) برای سازه‌های شبکه قطربی، با گام شتاب ۰.۲g را نشان می‌دهند.

1. Peak ground acceleration (PGA)
2. Max story drift ratio
3. Demand measure (DM)
4. Intensity measure (IM)

شکل ۹. نتایج تحلیل دینامیکی فراینده (IDA) برای سازه‌های شبکه قطربندی دارا و بدون قاب خمسمی داخلی، با زوایای پیکربندی ۶۷ درجه.

Fig. 9. The resulted IDA curves for the 24-story studied structures with skeletal configuration angle of 67° .

شکل ۱۰. نتایج تحلیل دینامیکی فراینده (IDA) برای سازه‌های شبکه قطربندی دارا و بدون قاب خمسمی داخلی، با زوایای پیکربندی ۷۴ درجه.

Fig. 10. The resulted IDA curves for the 24-story studied structures with skeletal configuration angle of 74° .

در برابر جنبش‌های نیرومند حاوی پالس سرعت مانند E05 و E06 بطور نسبی کمتر از رکوردهای فاقد پالس است. بدین ترتیب، رکوردهای حوزه نزدیک دارای موجک پیوسته با مقادیر بزرگ انرژی جنبشی در تاریخچه زمانی سرعت، سبب ایجاد خرابی با روند تندتری در اسکلت‌های مقاوم می‌شوند. نتایج پردازش‌های عددی روی نمودارهای حاصل از تحلیل‌های دینامیکی فراینده مشخص می‌کند که چیدمان قاب‌های خمسمی میانی، قابلیت جذب انرژی در سازه‌های شبکه قطربندی را افزایش می‌دهد.

همچنین، استفاده از زوایای بزرگ المان‌های مورب محیطی سطح تاثیر قاب خمسمی داخلی را بر کارایی و عملکرد لرزه‌ای

پیرامونی، از این‌منی بالاتری در برابر رخداد فروریزش برخوردار هستند. شبیه اولیه نمودارهای IDA نشان می‌دهد که سطح شتاب متناظر با کران بالایی رفتار الاستیک و خطی در سازه‌های شبکه قطربندی به نسبت قابل توجه می‌باشد. توصیف این مورد آن است که ساختارهای مقاوم مثلثی با ایجاد سازوکار تسلیم تحت سطوح بالاتر شتاب زلزله، دچار کاهش سختی و زوال مقاومت می‌گردند. به عنوان یک نتیجه‌گیری نیز با افزایش زوایای الگوی هندسی پیرامونی، روند ناپایداری دینامیکی سازه شبکه قطربندی با آهنگ سریع تری پدیدار می‌شود.

افزون بر مطلب فوق، ظرفیت فروریزش سازه‌های شبکه قطربندی

بیشینه مقادیر جابه‌جایی نسبی طبقات سازه به عنوان پارامتر نیاز مهندسی^۱ (EDP_d) در نظر گرفته شده است. همچنین، بر پایه ضوابط FEMA 356 نیز حدود وضعیت‌های عملکرد لرزه‌ای EDP_C برای سازه‌های مطالعاتی، مطابق با جدول (۵) لحاظ شد [35]. سپس، محاسبات نمودارهای شکنندگی سازه‌های مطالعاتی مطابق با توزیع احتمالاتی لوگ-نرمال، برای چهار حالت حدی استفاده بی‌وقفه^۲ (IO)، اینمنی جانی^۳ (LS)، آستانه فروریزش^۴ (CP) و ناپایداری احتمالی^۵ دینامیکی (GI) انجام شد. نتایج تحلیل شکست برای سازه‌های شبکه قطری با قاب خمشی میانی در شکنندگی (Hybrid-Diagrid) و بدون قاب خمشی (Diagrid) در شکل‌های (۱۱) تا (۱۳) ارائه شده است.

جدول ۵. حدود وضعیت‌های عملکرد لرزه‌ای بر اساس جابه‌جایی نسبی [35].

Limit State	IO Performance Level	LS Performance Level	CP Performance Level	GI Performance Level
EDP_C	1%	2%	4%	10%

Table 5. The defined limit states based on drift parameter [31].

بر پایه این نتایج، در یک سطح معین از شدت لرزه‌ای، سازه شبکه قطری با زوایای پیکربندی ۴۹ درجه، کمترین احتمال تجاوز از سطوح عملکرد را دارد. در رابطه با این موضوع، افزایش زوایای المان مورب الگوی هندسی پیکربندی می‌تواند سبب کاهش نسبی تراز و قابلیت پایداری اسکلت مقاوم شبکه قطری در برابر رخداد حالات حدی بشود. بدین ترتیب، دانسته شد که سازه‌های شبکه قطری با زوایای کوچک پیکربندی محیطی تحت جنبش‌های نیرومند زمین، از میزان آسیب‌پذیری کمتری برخوردار هستند. مشخصات رفتار شکنندگی سازه‌های مطالعاتی در حالت حدی (GI) نشان می‌دهد که سازه‌های شبکه قطری با قاب

سازه‌های شبکه قطری بالا خواهد برد. نمود این مورد در نمودارهای IDA سازه‌های شبکه قطری دارا و بدون قاب خمشی، با الگوی هندسی ۶۷ و ۷۴ درجه (شکل‌های ۹ و ۱۰) متناظر با شدت لرزه‌ای وضعیت رخداد فروریزش قابل مشاهده است. وجود قاب‌های خمشی میانی در اسکلت شبکه قطری سبب می‌شود که این سازه با رویکرد مناسب‌تری، حوزه رفتار غیرالاستیک را تجربه نماید.

۴-۳- رفتار شکنندگی سازه‌های شبکه قطری

در این مقاله، ارزیابی احتمال رخداد وضعیت‌های عملکرد لرزه‌ای در سازه‌های شبکه قطری دارا و بدون قاب خمشی بر اساس تحلیل شکنندگی انجام گرفته است. بر همین اساس نیز روند آسیب‌پذیری ساختارهای مقاوم مطالعاتی بر پایه تابع شکست لرزه‌ای، بررسی شده است [33]. به منظور پیاده‌سازی احتمالاتی فراگذشت از حالات حدی مطابق با نتایج تحلیل‌های دینامیکی فراینده (IDA)، از توزیع آماری لوگ-نرمال استفاده شده است [34]. تابع چگالی احتمال توزیع لوگ-نرمال به صورت فرمول زیر بدست می‌آید:

$$f(x) = \frac{1}{x\sigma\sqrt{2\pi}} \exp\left(-\frac{(Ln(x) - \mu)^2}{2\sigma^2}\right) \quad (3)$$

در رابطه (۳) فوق، میانگین و انحراف معیار مقادیر $w = Ln(x)$ در سطوح مختلف عملکرد به صورت $\mu = E(w)$ و $\sigma = \sqrt{Var(w)}$ تعریف می‌شوند. بر همین اساس، مقادیر تابع شکست به صورت زیر محاسبه می‌شود:

$$P[C | IM = im_i] = P[EDP_d \geq EDP_C | IM = im_i] = 1 - \phi\left(\frac{W - \mu}{\sigma}\right) \quad (4)$$

با توجه به فرمول (۴)، احتمال شرطی فروریزش سازه‌های مطالعاتی $P[C | IM = im_i]$ در سطوح مختلف شتاب زلزله (IM) بر پایه تابع توزیع نرمال استاندارد ϕ بیان می‌شود. در این‌باره،

4. Collapse prevention (CP)
5. Global instability (GI)

1. Engineering demand parameter (EDP)
2. Immediate occupancy (IO)
3. Life safety (LS)

شکل ۱۱. نمودار شکنندگی سازه‌های شبکه قطري دارا و بدون قاب خمشي ميانى با الگوی هندسى ۴۹ درجه.

خمشی داخلی (Hybrid-Diagrid) دارای ظرفیت مقاومتی بزرگی، در مقابله با وقوع ناپایداری کلی دینامیکی هستند. در این مورد، بر اساس تغییرات عملکرد مفاصل پلاستیک در ساختار قاب خمشی میانی (در بخش داخلی سازه شبکه قطري)، یک روند کنترل ایجاد و گسترش تدریجی نلپلیداری همراه با فرآیند کاهش مقاومت المان‌های قطري پدیدار می‌شود. جدول (۶) شدت لرزه‌ای مناسب با احتمال فراگذشت از حالات حدی برابر با ۵۰ و ۸۰ درصد را برای سازه‌های مطالعاتی نشان می‌دهد. برطبق این جدول، در سطح خسارت یکسان، مقادیر شتاب متناظر با رویکرد احتمالاتی وضعیت‌های عملکردی به ویژه آستانه فروبریزش (CP) و ناپایداری دینامیکی (GI)، در سازه‌های شبکه قطري دارای قاب خمشی میانی، بیشتر از ساختارهای مقاوم همپایه بدون قاب خمشی است. بدین ترتیب، سختی سازه‌های شبکه قطري با به کارگیری قاب خمشی داخلی، در مقابل رویکرد تصاعدی خسارت لرزه‌ای افزایش می‌یابد. همچنین، استفاده از قاب خمشی داخلی در سازه‌های شبکه قطري، وقوع کمانش‌های الاستیک و غیرالاستیک در المان‌های مورب الگوی مثلثی پیرامونی را محدود می‌سازد.

مطابق شکل (۱۴)، رفتار شکنندگی سازه‌های مطالعاتی در سطوح عملکرد لرزه‌ای، تحت جنبش‌های نیرومند انتخابی بر پایه مقادیر SRSS طیف‌های شتاب (S_a) مولفه TR و LN بررسی شده است. با ملاحظه این نمودارها دریافت می‌شود که رکوردهای حوزه نزدیک با اثر جهت‌داری پیشرونده، مقادیر احتمال رخداد حالات حدی بیشتری را در سازه‌های شبکه قطري ایجاد می‌کنند. بدین صورت که احتمال فراگذشت از وضعیت عملکرد ایمنی جانی (LS) در سازه شبکه قطري SYL (Diagrid) با زوایای پیکربندی ۷۷ درجه، برای رکورد E08 حاوی پالس سرعت، برابر با ۵۳ درصد و تحت رکورد E08 دارای جهش پلکانی پرانرژی، حدود ۱۶ درصد است. این مورد

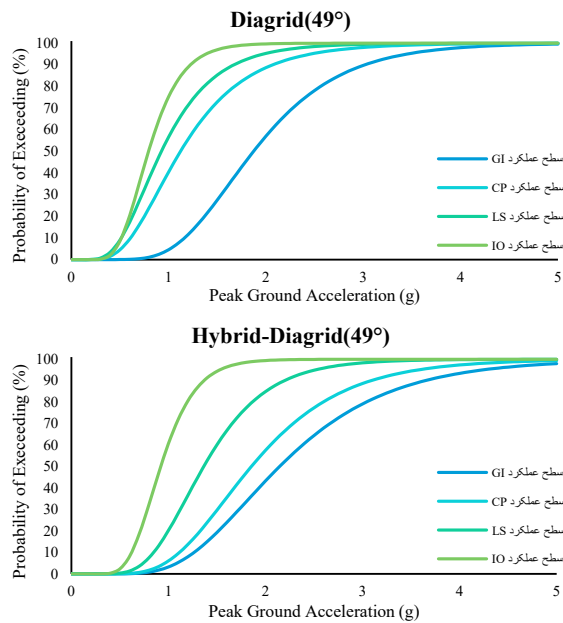


Fig. 11. The resulted fragility curves of the studied structures with skeletal diagonal angle of 49°.

شکل ۱۲. نمودار شکنندگی سازه‌های شبکه قطري دارا و بدون قاب خمشي ميانى با الگوی هندسى ۷۷ درجه.

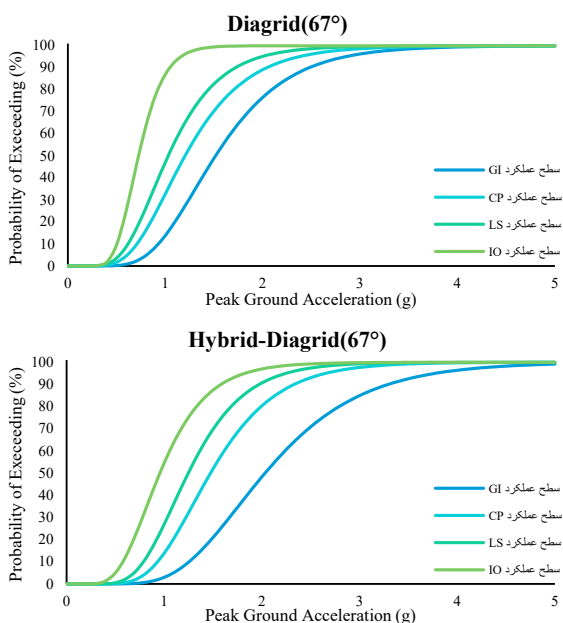


Fig. 12. The resulted fragility curves of the studied structures with skeletal diagonal angle of 67°.

شکل ۱۳. نمودار شکنندگی سازه‌های شبکه قطری دار و بدون قاب خمشی

میانی با الگوی هندسی ۷۴ درجه

را دارد.

برپایه نتایج شکل (۱۴)، بطور نسبی کمترین و بیشترین

تأثیر قاب خمشی میانی بر کاهش احتمال فرآگذشت از سطوح عملکرد لرزه‌ای، به ترتیب در محدوده حالت حدی استفاده بی‌وقفه (IO) و آستانه فروریزش (CP) رخ داده است. همچنین، بهترین کارایی قاب خمشی داخلی بر جلوگیری از ناپایداری کلی دینامیکی (GI) ساختارهای مقاوم، مربوط به سازه شبکه قطری با زوایای ۶۷ درجه الگوی هندسی محیطی تحت رکورد BAM است. به عنوان یک نتیجه‌گیری، در طول روند

جدول ۶. مقادیر شدت لرزه‌ای حالات حدی، متناسب با احتمال رخداد ۲۰، ۵۰ و ۸۰ درصد در سازه‌های مطالعاتی.

Occurrence probability	Structure	Performance Level			
		IO	LS	CP	GI
20%	Diagrid (49°)	0.60	0.63	0.75	1.37
	Hybrid-Diagrid (49°)	0.71	1.00	1.33	1.52
	Diagrid (67°)	0.57	0.74	0.85	1.10
	Hybrid-Diagrid (67°)	0.69	0.92	1.09	1.48
	Diagrid (74°)	0.41	0.68	0.81	1.01
	Hybrid-Diagrid (74°)	0.54	0.90	1.03	1.29
50%	Diagrid (49°)	0.79	0.93	1.12	1.87
	Hybrid-Diagrid (49°)	0.92	1.37	1.85	2.14
	Diagrid (67°)	0.73	1.03	1.21	1.52
	Hybrid-Diagrid (67°)	0.96	1.25	1.48	2.03
	Diagrid (74°)	0.50	0.91	1.09	1.40
	Hybrid-Diagrid (74°)	0.66	1.19	1.43	1.94
80%	Diagrid (49°)	1.06	1.36	1.67	2.55
	Hybrid-Diagrid (49°)	1.19	1.86	2.58	3.02
	Diagrid (67°)	0.92	1.44	1.70	2.08
	Hybrid-Diagrid (67°)	1.33	1.68	1.98	2.78
	Diagrid (74°)	0.60	1.20	1.47	1.94
	Hybrid-Diagrid (74°)	0.79	1.58	1.98	2.90

Table 6. The calculated seismic intensities corresponding to the probability of exceeding performance levels of 20, 50 and 80%.

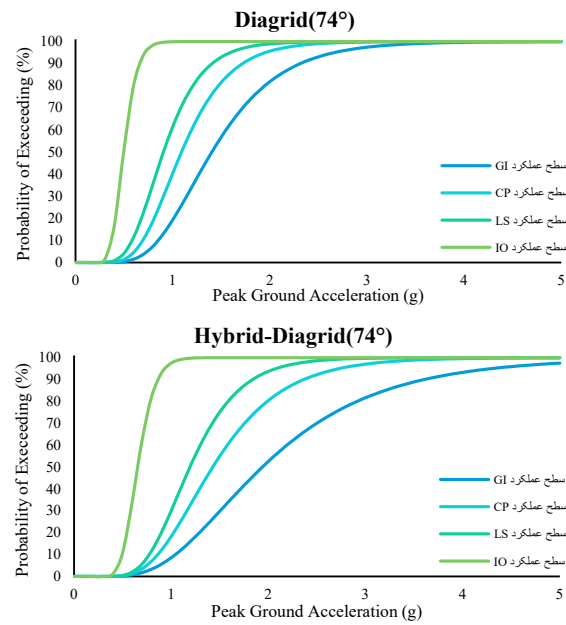


Fig. 13. The resulted fragility curves of the studied structures with skeletal diagonal angle of 74°.

نشان‌دهنده هماهنگی مشخصات مودال سازه‌های مطالعاتی با محتواهای فرکانسی رکوردهای حوزه نزدیک حاوی آثار جهت‌داری پیش‌روند، به ویژه پالس تاریخچه زمانی سرعت اسست. در همین رابطه، دامنه تغییرات احتمالاتی رخداد وضعیت‌های عملکردی در سازه‌های مطالعاتی، تحت رکوردهای LGP، TAB و BAM بالاترین مقادیر شکنندگی

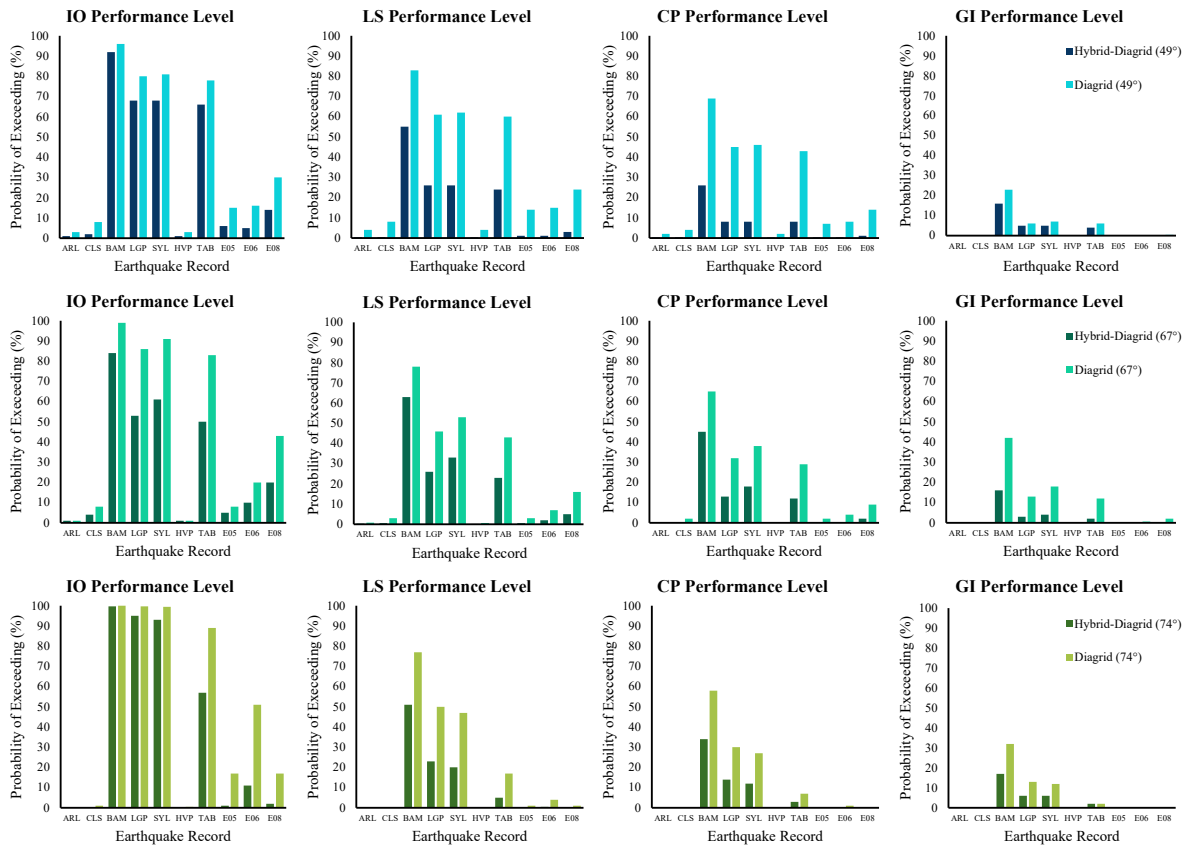
شکل ۱۴. نتایج تحلیل شکنندگی سازه‌های مطالعاتی تحت رکوردهای زلزله انتخابی، بر اساس مقادیر SRSS طیف‌های شتاب (S_a) مولفه‌های LN و TR.

Fig. 14. The results of fragility analysis of the studied structures based on the rule of SRSS spectral combination.

قطری، به ویژه قبل از رخداد وضعیت فروریزش می‌شود. نکته دیگر آن که شدت اثر قاب خمشی داخلی، بر کترول احتمالاتی فراگذشت از سطوح عملکرد لرزه‌ای، وابسته به زوایای المان‌های مورب پیکربندی پیرامونی سازه شبکه قطری می‌باشد. بر طبق نتایج تحلیل شکنندگی سازه‌ها در حالت حدی CP، زاویه ۴۹ درجه برای الگوی هندسی پیرامونی موثرترین پیکربندی را برای چگونگی به کارگیری قاب خمشی میانی در رفتار دینامیکی اسکلت‌های مقاوم شبکه قطری، ایجاد می‌نماید. بنابراین، خرابی کلی در سازه‌های ترکیبی (Hybrid-Diagrid) تحت رکوردهای حوزه نزدیک نیرومند، همراه با مقادیر بزرگ استهلاک انرژی در المان‌های اصلی رخ می‌دهد.

صعودی آسیب لرزه‌ای، میزان مشارکت قاب خمشی بر بهبود عملکرد سازه‌های شبکه قطری، یک روند افزایشی را در پی خواهد داشت.

منحنی‌های سطح نهایی خسارت لرزه‌ای (شکل ۱۵)، برای اسکلت‌های مقاوم مطالعاتی نشان می‌دهند که سازه‌های شبکه قطری با قاب خمشی داخلی (Hybrid-Diagrid)، ظرفیت باربری جانبی بیشتری نسبت به سازه‌های همپاییه بدون قاب خمشی میانی (Diagrid) دارند. بر همین اساس، روند شکست در سازه‌های شبکه قطری بدون قاب خمشی داخلی، با آهنگ سریع تری نسبت به سازه همپاییه دارای قاب خمشی پدیدار می‌شود. گروه قاب‌های خمشی میانی، سبب افزایش نسبی مقاومت اسکلت مقاوم در محدوده رفتار غیرخطی سازه شبکه

شکل ۱۵. مقایسه رفتار شکنندگی سازه های شبکه قطری دارا و بدون قاب خمشی با زوایای پیکریندی پیرامونی مختلف در سطح عملکرد آستانه فروریزش (CP):
 (الف) الگوی هندسی ۴۹ درجه، (ب) الگوی هندسی ۶۷ درجه، (پ) الگوی هندسی ۷۴ درجه.

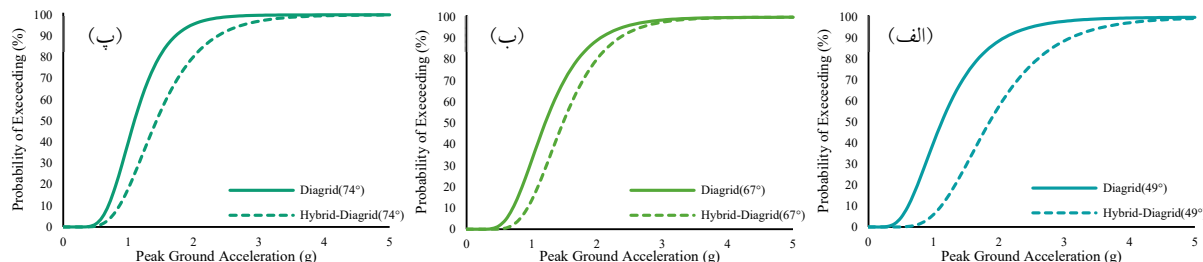


Fig. 15. Comparison between the resulted fragility curves of the studied diagrid structures with and without internal moment frames corresponding to the CP performance level.

همچنین، شبیه اولیه نمودارهای IDA برای سازه های شبکه قطری نشان دهنده سازو کار مطلوب تسلیم این سازه ها در برای رویکرد تصاعدي خسارتمانی است.

- با ارزیابی نمودارهای IDA مشاهده شد که کاهش زوایای المان های مورب محیطی در سازه های شبکه قطری سبب می شود که اینمی در برابر رخداد احتمالی وضعیت فروریزش در اسکلت های مقاوم افزایش یابد. در این رابطه، سازه شبکه قطری با زوایای پیکریندی پیرامونی ۴۹ درجه، از پایداری دینامیکی بیشتری در مقابل رکوردهای حوزه نزدیک برخوردار است.

- منحنی های شکست سازه های مطالعاتی نشان داد که زوایای کوچک المان مورب پیکریندی پیرامونی، کاهش احتمال رخداد وضعیت های عملکرد لرزه ای و در نتیجه افزایش ظرفیت مقاومت سازه شبکه قطری را به دنبال خواهد داشت. بر طبق این موضوع، سازه شبکه قطری با زوایای پیکریندی ۷۴ درجه، دارای بیشترین مقادیر فراگذشت از حالات حدی می باشد.

- با بررسی نتایج تحلیل شکنندگی اسکلت های مقاوم مورد نظر، ملاحظه شد که قاب خمشی داخلی سبب افزایش توان لرزه ای سازه شبکه قطری به ویژه در سطح عملکرد ناپایداری احتمالی دینامیکی (GI) می شود. بر همین اساس، روند خرابی کلی در سازه های شبکه قطری بدون قاب خمشی میانی کلی در سازه های شبکه قطری بدون قاب خمشی میانی (Diagrid) با آنچه سریع تری نسبت به سازه هم پایه دارای قاب

۵- نتیجه گیری

در این مقاله، ارزیابی رفتار شکنندگی سازه های شبکه قطری در دو حالت سیستم مقاوم دارای قاب خمشی داخلی با نام Hybrid-Diagrid و نیز بدون قاب خمشی با نام Diagrid، تحت جنبش های نیرومند حوزه نزدیک به انجام رسید. بدین ترتیب، پارامترهای پاسخ لرزه ای این سازه ها بر پایه نتایج تحلیل های تاریخچه زمانی غیرخطی (NTHA) و دینامیکی فراینده (IDA) محاسبه شده اند. پیاده سازی تحلیلی توابع شکست برای سازه های شبکه قطری مطالعاتی در وضعیت های عملکرد استفاده بی وقهه (IO)، اینمی جانی (LS)، آستانه فروریزش (CP) و ناپایداری احتمالی دینامیکی (GI) بر اساس توزیع احتمالاتی لوگ-نرمال انجام گردید. نتایج مهم از ارزیابی عملکرد سازه های مورد مطالعه در این مقاله به شرح زیر است:

- بر پایه نتایج تحلیل های تاریخچه زمانی غیرخطی، استفاده از قاب خمشی میانی در اسکلت های شبکه قطری سبب محدود نمودن توزیع تغییر شکل، به ویژه در طبقات انتهایی می شود. در این باره، قاب خمشی داخلی در کاهش مقادیر تغییر مکان طبقات سازه های شبکه قطری دارای مشارکت ناچیز و کوچک می باشد.

- از نتایج تحلیل های دینامیکی فراینده برداشت شد که تغییر الگوی هندسی پیرامونی سازه های شبکه قطری، بر میزان مشارکت قاب خمشی داخلی در قابلیت جذب انرژی زلزله، تاثیرگذار است.

- subjected to mainshock–aftershock sequences. *Structural Design of Tall and Special Buildings*, vol. 29, no. 15, DOI: 10.1002/tal.1786.
- [6] Hu, S. & Wang, W. (2021). Comparative seismic fragility assessment of mid-rise steel buildings with non-buckling (BRB and SMA) braced frames and self-centering energy-absorbing dual rocking core system. *Soil Dynamics and Earthquake Engineering*, vol. 142, DOI: 10.1016/j.soildyn.2020.106546.
- [7] Mele, E., Toreno, M., Brandonisio, G. & De Luca, A. (2014). Diagrid structures for tall buildings: case studies and design considerations. *Structural Design of Tall and Special Buildings*, vol. 23, no. 2, pp. 124–145.
- [8] Moradi, M. & Abdolmohammadi, M. (2020). Seismic fragility evaluation of a diagrid structure based on energy method. *Constructional Steel Research*, vol. 174, DOI: 10.1016/j.jcsr.2020.106311.
- [9] Rofooei, F.R. & Seyedkazemi, A. (2020). Evaluation of the Seismic Performance Factors for Steel Diagrid Structural Systems Using FEMA P-695 and ATC-19 Procedures. *Bulletin of Earthquake Engineering*, vol. 18, pp. 4873–4910.
- [10] Mohsenian, V., Padashpour, S. & Hajirasouliha, I. (2020). Seismic Reliability Analysis and Estimation of Multilevel Response Modification Factor for Steel Diagrid Structural Systems. *Building Engineering*, vol. 29, DOI: 10.1016/j.jobc.2019.101168.
- [11] Dabbaghchian, I., Mirghaderi, S.R. & Sayadi, S. (2021). Comparison of Seismic Behavior of the Eccentric and Conventional Diagrid Systems. *Structural Design of Tall and Special Buildings*, vol. 30, no. 3, DOI: 10.1002/tal.1824.
- [12] Teran-Gilmore, A., Roeslin, S., Tapia-Hernández, E. & Cuadros-Hipólito, E. (2021). Displacement-Based Design of Tall Earthquake-Resistant Diagrid Systems. *Building Engineering*, vol. 35, DOI: 10.1016/j.jobc.2020.102022.
- [13] Song, S. & Zhang, C.H. (2020). Lateral Stiffness and Preliminary Design Methodology of Twisted Diagrid Tube Structures. *Structural Design of Tall and Special Buildings*, vol. 29, no. 18, DOI: 10.1002/tal.1809.
- [14] Cascone, F., Faiella, D., Tomei, V. & Mele, E. خمshi (Hybrid-Diagrid), پدیدار خواهد شد. در این مورد، کمترین تاثیر قاب خمshi بر بهبود رفتار غیرخطی سازه شبکه قطری، در وضعیت عملکرد استفاده بی وقفه (IO) رخ داده است.
- بیشترین مقادیر احتمالاتی رخداد سطح عملکرد آستانه فروریزش (CP) تحت رکوردهای حوزه نزدیک حاوی پالس سرعت شامل LGP ، BAM و SYL در اسکلت‌های مقاوم لرزه‌ای ایجاد شده است. این مورد بیان کننده همانگی مشخصات مودال سازه‌های شبکه قطری و ویژگی‌های طیف فوریه جنبش‌های نیرومند زمین با اثر جهت‌داری پیشرونده می‌باشد.
- بر پایه ارزیابی‌های صورت گرفته، دریافت شد که حدود تاثیرگذاری چیدمان قاب‌های خمshi در بخش میانی پلان بر بهبود شاخص‌های شکنندگی سازه‌های شبکه قطری، وابسته به تغییر الگوی مثلثی پیرامونی است. در این‌باره، دانسته شد که افزایش زوایای پیکربندی محیطی سازه شبکه قطری می‌تواند بطور نسبی میزان اثر بخشی چیدمان قاب‌های خمshi داخلی بر عدم وقوع احتمالی مود کمانش ناهمگون در المان‌های اصلی سازه را بیشتر نماید.

۶- مراجع

- [1] Jaiswal, K., Wald, D. & D'Ayala, D. (2011). Developing empirical collapse fragility functions for global building types. *Earthquake Spectra*, vol. 27, no. 3, DOI: 10.1193/1.3606398.
- [2] Anvarsamarin, A., Rofooei, R.F. & Nekooei, M. (2020). Torsion effect on the RC structures using fragility curves considering with soil-structure interaction. *Rehabilitation in Civil Engineering*, vol. 8, no. 1, pp. 1–21.
- [3] Mashhadiali, N. & Kheyroddin, A. (2018). Seismic performance of concentrically braced frame with hexagonal pattern of braces to mitigate soft story behavior. *Engineering Structures*, vol. 175, pp. 27–40.
- [4] Mashhadiali, N. & Kheyroddin, A. (2019). Quantification of the seismic performance factors of steel hexagrid structures. *Constructional Steel Research*, vol. 157, pp. 82–92.
- [5] Wang, X., Wen, W. & Zhai, Ch. (2020). Vulnerability assessment of a high-rise building

- (PEER), Ground Motion Database, University of California Berkeley.
- [27] Kohrangi, M., Vamvatsikos, D. & Bazzurro, P. (2018). Pulse-like versus non pulse-like ground motion records: Spectral shape comparisons and record selection strategies. *Earthquake Engineering Structural Dynamics*, vol. 48, no. 1, pp. 46–64.
- [28] Heshmati, M., Khatami, A. & Shakib, H. (2021). FEMA P695 Methodology for Safety Margin Evaluation of Steel Moment Resisting Frames Subjected to Near-Field and Far-Field Records. *SN Applied Sciences*, vol. 3, DOI: 10.1007/s42452-021-04230-2.
- [29] Ezzodin, A., Ghodrati Amiri, G. & Raissi Dehkordi, M. (2021). Simulation of fling step pulse of near-fault ground motion by using wavelet smoothening and improved bell-shaped function. *Soil Dynamics and Earthquake Engineering*, vol. 140, DOI: 10.1016/j.soildyn.2020.106462.
- [30] CSI, User Guide PERFORM 3D. (2011). Nonlinear Analysis and Performance Assessment for 3D Structures". Berkeley, California, USA.
- [31] Vamvatsikos, D. & Cornell, A.C. (2004). Applied incremental dynamic analysis. *Earthquake Spectra*, vol. 20, no. 2, pp. 523–553.
- [32] Vamvatsikos, D. & Cornell, A.C. (2006). Direct estimation of the seismic demand and capacity of oscillators with multi-linear static pushovers through IDA. *Earthquake Engineering Structural Dynamics*, vol. 35, no. 9, pp. 1097-1117.
- [33] Porter, K., Kennedy, R. & Bachman, R. (2007). Creating fragility functions for performance-based earthquake engineering. *Earthquake Spectra*, vol. 23, no. 2, pp. 471–489.
- [34] Mai, C., Konakli, K. & Sudret, B. (2017). Seismic fragility curves for structures using non-parametric representations. *Frontiers of Structural and Civil Engineering*, vol. 11, pp. 169–186.
- [35] FEMA 356. (2000). Prestandard and Commentary for the Seismic Rehabilitation of Buildings. Federal Energy Management Agency (FEMA), Reston, Virginia.
- (2021). A Structural Grammar Approach for the Generative Design of Diagrid-Like Structures. *Buildings*, vol. 11(3), DOI: 10.3390/buildings11030090.
- [15] Asgarian, B., Sadrinezhad, A. & Alanjari, P. (2010). Seismic performance evaluation of steel moment resisting frames through incremental dynamic analysis. *Constructional Steel Research*, vol. 66, no. 2, pp. 178-190.
- [16] Ahlehagh, S. & Mirghaderi, S.R. (2020). Decoupling the Strength and Drift Criteria in Steel Moment-Resisting Frames. *Structural Design of Tall and Special Buildings*, vol. 29, no. 17, DOI: 10.1002/tal.1804.
- [17] Vahdani, R., Gerami, M. & Razi, M. (2017). Seismic Vulnerability Assessment of Steel Moment-Resisting Frames Based on Local Damage. *Earthquake and Tsunami*, vol. 11(5), DOI: 10.1142/S1793431117500166.
- [18] The Iranian National Building Code. (2014). Steel Structures. Issue 10, Tehran, Iran. (In Persian)
- [19] Standard No. 2800. (2014). Iranian Code of Practice for Seismic Resistant Design of Buildings. 4th Edition, Tehran, Iran. (In Persian)
- [20] CSI, Analysis Reference Manual for SAP2000. (2010). Berkeley, California, USA.
- [21] The Iranian National Building Code. (2014). Design Loads for Buildings. Issue 6, Tehran, Iran. (In Persian)
- [22] Asadi, E. & Adeli, H. (2018). Seismic performance factors for low-to mid-rise steel diagrid structural systems. *Structural Design of Tall and Special Buildings*, vol. 27, no. 15, DOI: 10.1002/tal.1505.
- [23] Heshmati, M. & Aghakouchak, A.A. (2019). Quantification of seismic performance factors of steel diagrid system. *Structural Design of Tall and Special Buildings*, vol. 28, no. 3, DOI: 10.1002/tal.1572.
- [24] ASCE/SEI 41-17. (2017). Seismic Evaluation and Retrofit of Existing Buildings. American Society of Civil Engineers, Reston, Virginia.
- [25] FEMA P-695. (2009). Quantification of Building Seismic Performance Factors. Federal Energy Management Agency (FEMA), Redwood City, California.
- [26] Pacific Earthquake Engineering Research Center

Probabilistic evaluation of the fragility of diagrid structures with and without internal moment frames and various perimeter geometric configurations

Mahyar Roshani¹, Afshin Meshkat-Dini^{2*}, Ali Massumi³

1. M.Sc. Graduate, Department of Civil Engineering, Kharazmi University, Tehran, Iran.
2. Assistant Professor, Department of Civil Engineering, Kharazmi University, Tehran, Iran.
3. Professor, Department of Civil Engineering, Kharazmi University, Tehran, Iran.

*meshkat@khu.ac.ir

Abstract

The evaluation of the fragility functions is an analytical approach that allows different ground motions to be used at varying intensity levels and represent various characteristics of low-intensity and high-intensity shakings. The fragility curves demonstrate the structure's probability of collapse, or other limit states, as a function of some ground motion intensity measures (IM). The intensity measure is often quantified by spectral acceleration (Sa) or peak ground acceleration (PGA). Based on the statistical procedures, the parameters of the fragility functions are computed by assessing the results of nonlinear dynamic time history analyses. Therefore, the probability of failure associated with a prescribed criterion (e.g., the maximum inter-story drift) is estimated based on the probabilistic distribution relations.

This paper evaluates the effects of internal flexural frames on the seismic performance of diagrid structures based on fragility curves. This evaluation is achieved by designing a group of 24-story studied diagrid models with various diagonal angles of 49, 67, and 74 according to the Iranian Standard No. 2800 (4th edition) and the Iranian National Building Code (Steel Structures-Issue 10). Then, some specific interior gravity frames of the studied diagrid models are replaced with bending frames. The seismic vulnerability of the studied diagrid structures with and without internal bending frames is assessed using nonlinear time history and incremental dynamic analyses (IDA) under near-field earthquake records containing different directivity effects. Finally, the fragility curves for the studied structures were obtained based on the lognormal probabilistic distribution function for the seismic performance limit states including IO, LS, CP, and global instability (GI). Moreover, the seismic performance levels of the studied structures were determined based on the FEMA 356.

The results of performed nonlinear time history analyses indicate that the application of internal bending frames in diagrid structures would reduce the value of inter-story drift in upper floor levels, especially when the angles of exterior diagonal members are large. The results also show that the global instability of diagrid structures without internal bending frames can occur at a faster rate than the skeletal models with internal bents. Also, the contribution of the internal bending frames in improving the nonlinear behavior of diagrid structures depends on the perimeter triangular patterns. Due to this dependency, the increase in the angle of the inclined members in skeletal geometric configuration can increase the effectiveness of the internal bending frames in preventing the occurrence of global dynamic instability. The fragility curves of the studied diagrid structures illustrate that the internal bending frames reduce potentially excessive seismic performance levels. Furthermore, the internal bending frames amplify the seismic energy dissipation capability of the diagrid structures.

Keywords: Diagrid structure, Fragility curve, Incremental dynamic analysis, Collapse, Seismic performance level.